

Warszawa, dn. 2025-12-18

Orange Polska S.A.
Al. Jerozolimskie 160
02-326 Warszawa

Pełnomocnik: Magdalena Druszcz
Pełnomocnictwo numer: 176/01/21
z dnia: 2021-01-13

dane do korespondencji:

NetWorks Sp. z o.o.
ul. Józefa Piusa Dziekońskiego 3
00-728 Warszawa
tel. 518427631

Starosta Piaseczyński
Starostwo Powiatowe w Piasecznie
ul. Chyliczkowska 14
05-500 Piaseczno

Dotyczy: ustawowego obowiązku, wynikającego z art. 152 ust. 1 i ust. 7 w związku z ust. 6 pkt 1c ustawy z dnia 27 kwietnia 2001r – Prawo ochrony środowiska (Dz.U. 2024 poz. 54).

Działając z upoważnienia Orange Polska S.A. z siedzibą Al. Jerozolimskie 160, 02-326 Warszawa, **informuję o zmianie danych w zakresie wielkości i rodzaju emisji** dla instalacji radiokomunikacyjnej **4924 (80250N!) JESÓWKA_2 (WWA_PIASZCZNO_WOLKAKOZODAWS)** zlokalizowanej w miejscowości WÓLKA KOZODAWSKA DZ.267. W stosunku do informacji zawartej w zgłoszeniu realizowanym dla tej instalacji w trybie art. 152 ust. 1 i 5 ustawy z dnia 27 kwietnia 2001r – Prawo ochrony środowiska (Dz.U. 2024 poz. 54), dane ulegają zmianie w następujący sposób:

9. Wielkość i rodzaj emisji²⁾:

Pole elektromagnetyczne. EIRP poszczególnych anten zostało podane w pkt 12, tj.

Lp.	Równoważna moc promieniowana izotropowo (EIRP) [W]
1.	18723
2.	32000
3.	37947
4.	18723
5.	32000
6.	37947
7.	18723
8.	32000
9.	37947
10.	10000

12. Szczegółowe dane, odpowiednio do rodzaju instalacji, zgodne z wymaganiami określonymi w załączniku nr 2 do Rozporządzenia:

Lp.	1)	2)	3)	4)	5)	
	Współrzędne geograficzne	Częstotliwość lub zakresy częstotliwości pracy instalacji [MHz]	Wysokość środka elektrycznego anteny [m n.p.t]	Równoważna moc promieniowana izotropowo (EIRP) [W]	Azymut [°]	Kąt pochylenia lub zakresy kątów pochylenia [°]
1.	21°0'10.4" 52°2'17.8"	800/900/2600	40	18723	10	0-10/0-10/ 2-10
2.	21°0'10.6" 52°2'17.8"	1800/2100	40	32000	10	0-10/0-10
3.	21°0'10.3" 52°2'17.8"	3600	40	37947	10	0-10
4.	21°0'10.5" 52°2'17.7"	800/900/2600	40	18723	130	0-10/0-10/ 2-10
5.	21°0'10.4" 52°2'17.6"	1800/2100	40	32000	130	0-10/0-10
6.	21°0'10.6" 52°2'17.7"	3600	40	37947	130	0-10
7.	21°0'10.3" 52°2'17.7"	800/900/2600	40	18723	250	0-10/0-10/ 2-10
8.	21°0'10.2" 52°2'17.8"	1800/2100	40	32000	250	0-10/0-10
9.	21°0'10.4" 52°2'17.6"	3600	40	37947	250	0-10
10	21°0'10.5" 52°2'17.8"	80000	46	10000	62*	nd.

*) tolerancja azymutu od -10° do + 10°.

Informuję, iż dokonane zmiany w zakresie wielkości i rodzaju emisji przedmiotowej instalacji nie powodują zmiany instalacji w sposób istotny zgodnie z art. 3 pkt 7 ustawy Poś.

W załączniku przesyłam:

1. Pełnomocnictwo
2. Kopia potwierdzenia wniesienia opłaty skarbowej.
3. Sprawozdanie z pomiarów pól elektromagnetycznych wykonanych dla celów ochrony środowiska.

Otrzymują:

1. a/a
2. adresat



Signed by /
Podpisano przez:

Magdalena Patrycja
Druszcz

Date / Data: 2025-
12-18 22:51



NetWorks Sp. z o.o.
Laboratorium Badań Środowiskowych
ul. Józefa Piusa Dziekońskiego 3
00-728 Warszawa
e-mail: Laboratorium@networks.pl



AB 419

S P R A W O Z D A N I E 11838/2025/OS
Z POMIARÓW PÓL ELEKTROMAGNETYCZNYCH
WYKONANYCH DLA POTRZEB OCHRONY ŚRODOWISKA

Badany obiekt: Instalacja radiokomunikacyjna Orange Polska S.A.
Numer i nazwa: 4924 (80250N!) JESÓWKA_2 (WWA_PIASZCZNO_WOLKAKOZODAWS)
Adres: WÓLKA KOZODAWSKA DZ.267, Powiat piaseczyński, WOJ. MAZOWIECKIE

Data wykonania pomiarów: 2025-12-10

Sprawozdanie z badań bez pisemnej zgody laboratorium nie może być powielane inaczej niż w całości.
Wynik przedstawione w niniejszym sprawozdaniu odnoszą się wyłącznie do badanego obiektu i do warunków i konfiguracji urządzeń w dniu wykonywania pomiarów.

1. Właściciel badanego obiektu:

Orange Polska S.A., Al. Jerozolimskie 160, 02-326 Warszawa

2. Zleceniodawca:

Orange Polska S.A., Al. Jerozolimskie 160, 02-326 Warszawa

3. Przedstawiciel zleceniodawcy:

NetWorks Sp. z o.o.

4. Zakres zlecenia:

Wykonanie badania i opracowanie sprawozdania z pomiarów natężenia pola elektrycznego i pola magnetycznego dla instalacji radiokomunikacyjnej Orange Polska S.A. zlokalizowanej w miejscowości WÓLKA KOZODAWSKA DZ.267.

5. Cel zlecenia:

Wykonanie pomiarów pól elektromagnetycznych w otoczeniu instalacji radiokomunikacyjnej 4924 (80250N!) JESÓWKA_2 (WWA_PIASZCZNO_WOLKAKOZODAWS) w odniesieniu do wymagań określonych w *Rozporządzeniu Ministra Klimatu z dnia 17 lutego 2020 r. w sprawie sposobów sprawdzania dotrzymania dopuszczalnych poziomów pól elektromagnetycznych w środowisku (Dz.U. 2022 poz. 2630)*.

6. Pomiary zostały wykonane przez:

Duszczyk Michał
Białowąs Arkadiusz

7. Informacje o źródłach pól elektromagnetycznych

7.1. Sposób identyfikacji badanych źródeł pól elektromagnetycznych

Identyfikacji źródeł i parametrów technicznych dokonano na podstawie analizy dokumentacji dotyczącej zlecenia oraz obserwacji miejsca wykonywania badań.

7.2. Opis miejsca zainstalowania anten i urządzeń technicznych. Opis obiektu badań i jego otoczenia

Instalacja radiokomunikacyjna zlokalizowana jest na terenie ogrodzonym. Anteny zawieszono na wieży kratowej. Urządzenia sterujące oraz zasilające zainstalowano w kontenerze u podstawy wieży. Wokół instalacji niska zabudowa, tereny zielone.

Instalacja radiokomunikacyjna jest obiektem bezobsługowym. Okresowe stanowiska pracy związane są z prowadzonymi w zależności od potrzeb konserwacjami, przeglądami, strojeniem i naprawami.

7.3. Parametry techniczne źródła pola elektromagnetycznego

Dane przedstawiające maksymalne parametry pracy instalacji przekazane przez zleceniodawcę:

Parametry systemu nadawczo-odbiorczego:

Charakterystyka promieniowania		Kierunkowa					
Rzeczywisty czas pracy [h/dobę]		24					
Warunki pracy		Znamionowe					
Rodzaj wytwarzanego pola		Stacjonarne					
Lp.	Częstotliwość lub zakresy częstotliwości pracy [MHz]	Typ/producent anteny	liczba anten	Azymut [°]	kąt pochylecia [°]	Wysokość środka elektrycznego anteny [m n.p.t]	Równoważna moc promieniowana izotropowo (EIRP) [W]
1	800/900/2600	ASI4518R10v18 Huawei	1	10	0-10**/0-10**/2-10**	40	18723
2	1800/2100	AAU5726e Huawei	1	10	0-10**/0-10**	40	32000
3	3600	AAU5649 Huawei	1	10	0-10**	40	37947
4	800/900/2600	ASI4518R10v18 Huawei	1	130	0-10**/0-10**/2-10**	40	18723
5	1800/2100	AAU5726e Huawei	1	130	0-10**/0-10**	40	32000
6	3600	AAU5649 Huawei	1	130	0-10**	40	37947
7	800/900/2600	ASI4518R10v18 Huawei	1	250	0-10**/0-10**/2-10**	40	18723
8	1800/2100	AAU5726e Huawei	1	250	0-10**/0-10**	40	32000
9	3600	AAU5649 Huawei	1	250	0-10**	40	37947

* wskazane wartości kąta pochylecia anten, zgodnie z informacją uzyskaną od zleceniodawcy, są wartościami stałymi

** pomiary wykonano zgodnie z pkt 13., ppkt 2 załącznika do Rozporządzenia Ministra Klimatu z dnia 17 lutego 2020 r. (Dz. U. 2022, poz. 2630).

Parametry radiolinii:

Charakterystyka promieniowania		kierunkowa					
Rzeczywisty czas pracy [h/dobę]		24					
Warunki pracy		znamionowe					
Rodzaj wytwarzanego pola		stacjonarne					
Lp.	Linia radiowa			Antena			
	Typ/ Producent	Częstotliwość pracy [GHz]	Równoważna moc promieniowana izotropowo (EIRP) [W]	Typ/ producent	Średnica anteny [m]	Azymut [°]	Wysokość zainstalowania n.p.t [m]
1.	RTN 380AXH 70/80GHz 500MHz Huawei	80	10000	A80D06 Huawei	0.6	62	46

7.4 Inne źródła pól elektromagnetycznych

Na podstawie informacji otrzymanych od użytkownika oraz obserwacji otoczenia miejsca wykonywania pomiarów stwierdzono występowanie innych źródeł pola-EM, pracujących w systemach: telefonii komórkowej (800MHz-3800MHz), które istotnie wpływają na wyniki pomiarów. Zidentyfikowano również źródła pola-EM: linii radiowych (5GHz-90GHz), które nie wpływają istotnie na wyniki pomiarów.

Sprawozdanie z badań bez pisemnej zgody laboratorium nie może być powielane inaczej niż w całości.

Wynik przedstawione w niniejszym sprawozdaniu odnoszą się wyłącznie do badanego obiektu i do warunków i konfiguracji urządzeń w dniu wykonywania pomiarów.

8. Opis pomiarów

8.1. Metoda badań

Zgodna z rozporządzeniem Ministra Klimatu z dnia 17 lutego 2020 r. w sprawie sposobów sprawdzania dotrzymania dopuszczalnych poziomów pól elektromagnetycznych w środowisku (Dz.U. 2022 poz. 2630), określona w pkt 25 ppkt 1 załącznika do niniejszego rozporządzenia.

8.2. Termin pomiarów i warunki środowiskowe

Podczas wykonywania pomiarów pól elektromagnetycznych nie występowały opady atmosferyczne. Wyniki pomiaru parametrów pogodowych przedstawia poniższa tabela:

Data [rrrr-mm-dd]	Godzina [hh:mm-hh:mm]	Warunki środowiskowe			
		Temperatura [°C]		Wilgotność względna [%]	
2025-12-10	08:50-10:30	Przed pomiarem	Po pomiarach	Przed pomiarem	Po pomiarach
		9.6	9.8	68.8	68.3

Przedstawione wyżej warunki środowiskowe, występujące podczas wykonywania pomiarów pól elektromagnetycznych, są zgodne ze specyfikacją techniczną użytego zestawu pomiarowego.

8.3. Warunki pracy urządzeń nadawczych

Podczas pomiarów w przypadku uzyskania wyniku pomiaru szerokopasmowego wykonanego zastosowaną metodą, dla zakresów częstotliwości od 10 MHz do 300 GHz, powiększonego o rozszerzoną niepewność pomiaru U dla współczynnika rozszerzenia $k = 2$ przekraczającego 70% najniższej dopuszczalnej wartości składowej elektrycznej lub magnetycznej pola dla objętych pomiarami zakresów częstotliwości, uwzględnia się poprawki pomiarowe przekazane przez zleceniodawcę, umożliwiające uwzględnienie maksymalnych parametrów pracy instalacji zgodnie z pkt 7 załącznika do Rozporządzeniem Ministra Klimatu z dnia 17 lutego 2020 r. w sprawie sposobów sprawdzania dotrzymania dopuszczalnych poziomów pól elektromagnetycznych w środowisku (Dz. U. 2022, poz. 2630) zaznaczając, że wymagane jest wykonanie pomiaru z wykorzystaniem miernika selektywnego. W przypadku uzyskania wyniku pomiaru szerokopasmowego wykonanego zastosowaną metodą, dla zakresów częstotliwości od 10 MHz do 300 GHz, powiększonego o rozszerzoną niepewność pomiaru U dla współczynnika rozszerzenia $k = 2$ nieprzekraczającego 70% najniższej dopuszczalnej wartości składowej elektrycznej lub magnetycznej pola dla objętych pomiarami zakresów częstotliwości, nie uwzględnia się poprawek pomiarowych.

8.4. Wyposażenie pomiarowe

Zestaw pomiarowy służący do pomiaru natężenia składowej elektrycznej pola elektromagnetycznego złożony z szerokopasmowego miernika i sondy pomiarowej:

Oznaczenie miernika	Producent	Model	Numer fabryczny	Oznaczenie sondy	Producent	Model	Numer fabryczny
MF-07	Narda Safety Test Solution	Miernik pól elektromagnetycznych Narda FieldMan	C-0170	SF-13	Narda Safety Test Solution	Sonda EFD-9091	A-0066

Mierniki natężenia pola elektromagnetycznego podlegają okresowemu sprawdzeniu zgodnie z procedurą wewnętrzną P-03 i PB-01. Świadectwo wzorcowania zestawu pomiarowego z dnia 2 grudnia 2024 o numerze LWiMP/W/418/24 wydane przez Politechnika Wrocławską. Data ważności świadectwa wzorcowania: 2 grudnia 2026 (zgodnie z procedurą wewnętrzną P-03).

Oznaczenie miernika	Producent	Model	Numer fabryczny	Oznaczenie sondy	Producent	Model	Numer fabryczny
MF-07	Narda Safety Test Solution	Miernik pól elektromagnetycznych Narda FieldMan	C-0170	SF-14	Narda Safety Test Solution	Sonda EFD-0691	A-0076

Mierniki natężenia pola elektromagnetycznego podlegają okresowemu sprawdzeniu zgodnie z procedurą wewnętrzną P-03 i PB-01. Świadectwo wzorcowania zestawu pomiarowego z dnia 2 grudnia 2024 o numerze LWiMP/W/418/24 wydane przez Politechnika Wrocławską. Data ważności świadectwa wzorcowania: 2 grudnia 2026 (zgodnie z procedurą wewnętrzną P-03).

Termohigrometr:

Oznaczenie:	TH-36	Producent:	TESTO	Model:	Termohigrometr TESTO 625
-------------	-------	------------	-------	--------	--------------------------

Data ważności świadectwa wzorcowania: 20 lutego 2028 (zgodnie z procedurą wewnętrzną P-03).

Sprawozdanie z badań bez pisemnej zgody laboratorium nie może być powielane inaczej niż w całości.

Wynik przedstawione w niniejszym sprawozdaniu odnoszą się wyłącznie do badanego obiektu i do warunków i konfiguracji urządzeń w dniu wykonywania pomiarów.

Dalmierz:

Oznaczenie	Producent	Typ	Numer seryjny	Nr świadectwa wzorcowania	Data świadectwa wzorcowania
D-21	Leica	Dalmierz Leica Disto D510	1030440462	Z3- Z32.4180.152.2023.3253.4	23 października 2023

Data ważności świadectwa wzorcowania: 23 października 2033 (zgodnie z procedurą wewnętrzną P-03).

Odbiornik GNSS:

Odbiornik GNSS wbudowany w miernik natężenia pola elektromagnetycznego użyty podczas pomiarów	Producent	Model
	UBlox	NEO-M8T

Odbiorniki podlegają okresowemu sprawdzeniu zgodnie z procedurą wewnętrzną P-03.

9. Wyniki pomiarów

Pole elektryczne

Nr pionu	Opis umiejscowienia pionu (punktu pomiarowego)	Wysokość pomiaru [m]	Zmierzona wartość natężenia pola elektrycznego E [V/m] ^{1,5}			Wartość natężenia pola elektrycznego powiększona o niepewność pomiaru ⁴ E [V/m]	Wskaźnikowa wartość poziomu emisji pól elektromagnetycznych WME ³	Współrzędne geograficzne pionu (punktu pomiarowego) ²
			Sonda SF-13	Sonda SF-14	Wartość			
1	GKP w odległości poziomej 11m od anteny sektorowej az. 10°	0.3-2.0	<1.0*	<1.0*	<1.0*	1.3	0.05	52°2'18.2" 21°0'10.4"
2	GKP w odległości poziomej 55m od anteny sektorowej az. 10°	2.0	1.6	1.6	1.6	2.1	0.07	52°2'19.7" 21°0'11.2"
3	GKP w odległości poziomej 95m od anteny sektorowej az. 10°	2.0	1.6	1.6	1.6	2.1	0.07	52°2'20.8" 21°0'11.2"
4	GKP w odległości poziomej 125m od anteny sektorowej az. 10°	2.0	1.4	1.4	1.4	1.8	0.07	52°2'21.8" 21°0'11.5"
5	GKP w odległości poziomej 14m od anteny radioliniowej az. 62°	0.3-2.0	<1.0*	<1.0*	<1.0*	1.3	0.05	52°2'17.9" 21°0'11.2"
6	GKP w odległości poziomej 67m od anteny radioliniowej az. 62°	2.0	1.4	1.4	1.4	1.8	0.07	52°2'19.0" 21°0'13.7"
7	GKP w odległości poziomej 16m od anteny sektorowej az. 130°	0.3-2.0	<1.0*	<1.0*	<1.0*	1.3	0.05	52°2'17.5" 21°0'11.2"
8	GKP w odległości poziomej 56m od anteny sektorowej az. 130°	2.0	1.5	1.5	1.5	2	0.07	52°2'16.4" 21°0'13.0"
9	GKP w odległości poziomej 99m od anteny sektorowej az. 130°	2.0	1.6	1.6	1.6	2.1	0.07	52°2'15.7" 21°0'14.4"
10	GKP w odległości poziomej 140m od anteny sektorowej az. 130°	2.0	1.3	1.3	1.3	1.7	0.06	52°2'14.6" 21°0'15.8"
11	GKP w odległości poziomej 7m od anteny sektorowej az. 250°	0.3-2.0	<1.0*	<1.0*	<1.0*	1.3	0.05	52°2'17.5" 21°0'10.1"
12	GKP w odległości poziomej 45m od anteny sektorowej az. 250°	2.0	1.4	1.4	1.4	1.8	0.07	52°2'17.2" 21°0'7.9"
13	GKP w odległości poziomej 91m od anteny sektorowej az. 250°	2.0	1.3	1.3	1.3	1.7	0.06	52°2'16.8" 21°0'5.8"
14	GKP w odległości poziomej 128m od anteny sektorowej az. 250°	2.0	1.5	1.5	1.5	2	0.07	52°2'16.4" 21°0'4.0"
15	PKP na az. 326° w odległości poziomej 50m od anteny sektorowej az. 10°	2.0	1.4	1.4	1.4	1.8	0.07	52°2'19.3" 21°0'8.6"
16	PKP na az. 341° w odległości poziomej 64m od anteny sektorowej az. 10°	2.0	1.5	1.5	1.5	2	0.07	52°2'19.7" 21°0'9.4"
17	PKP na az. 347° w odległości poziomej 51m od anteny sektorowej az. 10°	2.0	1.4	1.4	1.4	1.8	0.07	52°2'19.3" 21°0'9.7"
18	PKP na az. 356° w odległości poziomej 74m od anteny sektorowej az. 10°	2.0	1.5	1.5	1.5	2	0.07	52°2'20.0" 21°0'10.1"
19	PKP na az. 348° w odległości poziomej 84m od anteny sektorowej az. 10°	2.0	1.4	1.4	1.4	1.8	0.07	52°2'20.4" 21°0'9.4"

Sprawozdanie z badań bez pisemnej zgody laboratorium nie może być powielane inaczej niż w całości.

Wynik przedstawione w niniejszym sprawozdaniu odnoszą się wyłącznie do badanego obiektu i do warunków i konfiguracji urządzeń w dniu wykonywania pomiarów.

20	PKP na az. 24° w odległości poziomej 47m od anteny sektorowej az. 10°	2.0	1.3	1.3	1.3	1.7	0.06	52°2'19.3" 21°0'11.2"
21	PKP na az. 32° w odległości poziomej 87m od anteny sektorowej az. 10°	2.0	1.3	1.3	1.3	1.7	0.06	52°2'20.0" 21°0'12.6"
22	PKP na az. 39° w odległości poziomej 89m od anteny sektorowej az. 10°	2.0	1.4	1.4	1.4	1.8	0.07	52°2'20.0" 21°0'13.3"
23	PKP na az. 54° w odległości poziomej 75m od anteny sektorowej az. 10°	0.3-2.0	<1.0*	<1.0*	<1.0*	1.3	0.05	52°2'19.3" 21°0'13.3"
24	PKP na az. 33° w odległości poziomej 117m od anteny sektorowej az. 10°	2.0	1.2	1.2	1.2	1.6	0.06	52°2'21.1" 21°0'13.7"
25	PKP na az. 86° w odległości poziomej 47m od anteny sektorowej az. 130°	2.0	1.3	1.3	1.3	1.7	0.06	52°2'17.9" 21°0'13.0"
26	PKP na az. 101° w odległości poziomej 35m od anteny sektorowej az. 130°	2.0	1.3	1.3	1.3	1.7	0.06	52°2'17.5" 21°0'12.2"
27	PKP na az. 116° w odległości poziomej 51m od anteny sektorowej az. 130°	2.0	1.6	1.6	1.6	2.1	0.07	52°2'17.2" 21°0'13.0"
28	PKP na az. 108° w odległości poziomej 74m od anteny sektorowej az. 130°	2.0	1.6	1.6	1.6	2.1	0.07	52°2'17.2" 21°0'14.4"
29	PKP na az. 107° w odległości poziomej 109m od anteny sektorowej az. 130°	2.0	1.4	1.4	1.4	1.8	0.07	52°2'16.8" 21°0'16.2"
30	PKP na az. 144° w odległości poziomej 75m od anteny sektorowej az. 130°	2.0	1.3	1.3	1.3	1.7	0.06	52°2'15.7" 21°0'13.0"
31	PKP na az. 159° w odległości poziomej 67m od anteny sektorowej az. 130°	2.0	1.4	1.4	1.4	1.8	0.07	52°2'15.7" 21°0'11.9"
32	PKP na az. 153° w odległości poziomej 79m od anteny sektorowej az. 130°	2.0	1.4	1.4	1.4	1.8	0.07	52°2'15.4" 21°0'12.6"
33	PKP na az. 153° w odległości poziomej 114m od anteny sektorowej az. 130°	2.0	1.4	1.4	1.4	1.8	0.07	52°2'14.6" 21°0'13.3"
34	PKP na az. 174° w odległości poziomej 56m od anteny sektorowej az. 130°	0.3-2.0	<1.0*	<1.0*	<1.0*	1.3	0.05	52°2'16.1" 21°0'10.8"
35	PKP na az. 206° w odległości poziomej 49m od anteny sektorowej az. 250°	2.0	1.4	1.4	1.4	1.8	0.07	52°2'16.1" 21°0'9.4"
36	PKP na az. 221° w odległości poziomej 39m od anteny sektorowej az. 250°	2.0	1.3	1.3	1.3	1.7	0.06	52°2'16.8" 21°0'9.0"
37	PKP na az. 236° w odległości poziomej 50m od anteny sektorowej az. 250°	2.0	1.5	1.5	1.5	2	0.07	52°2'16.8" 21°0'8.3"
38	PKP na az. 227° w odległości poziomej 67m od anteny sektorowej az. 250°	2.0	1.4	1.4	1.4	1.8	0.07	52°2'16.1" 21°0'7.9"
39	PKP na az. 227° w odległości poziomej 100m od anteny sektorowej az. 250°	2.0	1.5	1.5	1.5	2	0.07	52°2'15.4" 21°0'6.5"
40	PKP na az. 264° w odległości poziomej 36m od anteny sektorowej az. 250°	2.0	1.3	1.3	1.3	1.7	0.06	52°2'17.5" 21°0'8.3"
41	PKP na az. 279° w odległości poziomej 61m od anteny sektorowej az. 250°	2.0	1.5	1.5	1.5	2	0.07	52°2'17.9" 21°0'7.2"
42	PKP na az. 294° w odległości poziomej 44m od anteny sektorowej az. 250°	2.0	1.7	1.7	1.7	2.2	0.08	52°2'18.2" 21°0'8.3"
43	PKP na az. 273° w odległości poziomej 79m od anteny sektorowej az. 250°	2.0	1.5	1.5	1.5	2	0.07	52°2'17.9" 21°0'6.1"
44	PKP na az. 273° w odległości poziomej 112m od anteny sektorowej az. 250°	2.0	1.3	1.3	1.3	1.7	0.06	52°2'17.9" 21°0'4.3"
-	GKP w odległości poziomej 291m od anteny sektorowej az. 10°	2.0	2.4	2.4	2.4	3.1	0.11	52°2'26.9" 21°0'13.0"

Sprawozdanie z badań bez pisemnej zgody laboratorium nie może być powielane inaczej niż w całości.

Wynik przedstawione w niniejszym sprawozdaniu odnoszą się wyłącznie do badanego obiektu i do warunków i konfiguracji urządzeń w dniu wykonywania pomiarów.

-	GKP w odległości poziomej 351m od anteny sektorowej az. 130°	0.3-2.0	<1.0*	<1.0*	<1.0*	1.3	0.05	52°2'10.3" 21°0'24.5"
-	GKP w odległości poziomej 289m od anteny sektorowej az. 250°	2.0	1.7	1.7	1.7	2.2	0.08	52°2'14.6" 20°59'56.0"

Pole magnetyczne (wyznaczone na podstawie pomiaru wartości natężenia pola elektrycznego)

Nr pionu	Opis umiejscowienia pionu (punktu pomiarowego)	Wysokość pomiaru [m]	Wartość natężenia pola magnetycznego H [A/m] ¹			Wartość natężenia pola magnetycznego powiększona o niepewność pomiaru ⁴ H [A/m]	Wskaźnikowa wartość poziomu emisji pól elektromagnetycznych WM _H ³	Współrzędne geograficzne pionu (punktu pomiarowego) ²
			Sonda SF-13	Sonda SF-14	Wartość			
1	GKP w odległości poziomej 11m od anteny sektorowej az. 10°	0.3-2.0	<0.003*	<0.003*	<0.003*	0.003	0.05	52°2'18.2" 21°0'10.4"
2	GKP w odległości poziomej 55m od anteny sektorowej az. 10°	2.0	0.004	0.004	0.004	0.006	0.08	52°2'19.7" 21°0'11.2"
3	GKP w odległości poziomej 95m od anteny sektorowej az. 10°	2.0	0.004	0.004	0.004	0.006	0.08	52°2'20.8" 21°0'11.2"
4	GKP w odległości poziomej 125m od anteny sektorowej az. 10°	2.0	0.004	0.004	0.004	0.005	0.07	52°2'21.8" 21°0'11.5"
5	GKP w odległości poziomej 14m od anteny radioliniowej az. 62°	0.3-2.0	<0.003*	<0.003*	<0.003*	0.003	0.05	52°2'17.9" 21°0'11.2"
6	GKP w odległości poziomej 67m od anteny radioliniowej az. 62°	2.0	0.004	0.004	0.004	0.005	0.07	52°2'19.0" 21°0'13.7"
7	GKP w odległości poziomej 16m od anteny sektorowej az. 130°	0.3-2.0	<0.003*	<0.003*	<0.003*	0.003	0.05	52°2'17.5" 21°0'11.2"
8	GKP w odległości poziomej 56m od anteny sektorowej az. 130°	2.0	0.004	0.004	0.004	0.005	0.07	52°2'16.4" 21°0'13.0"
9	GKP w odległości poziomej 99m od anteny sektorowej az. 130°	2.0	0.004	0.004	0.004	0.006	0.08	52°2'15.7" 21°0'14.4"
10	GKP w odległości poziomej 140m od anteny sektorowej az. 130°	2.0	0.003	0.003	0.003	0.005	0.06	52°2'14.6" 21°0'15.8"
11	GKP w odległości poziomej 7m od anteny sektorowej az. 250°	0.3-2.0	<0.003*	<0.003*	<0.003*	0.003	0.05	52°2'17.5" 21°0'10.1"
12	GKP w odległości poziomej 45m od anteny sektorowej az. 250°	2.0	0.004	0.004	0.004	0.005	0.07	52°2'17.2" 21°0'7.9"
13	GKP w odległości poziomej 91m od anteny sektorowej az. 250°	2.0	0.003	0.003	0.003	0.005	0.06	52°2'16.8" 21°0'5.8"
14	GKP w odległości poziomej 128m od anteny sektorowej az. 250°	2.0	0.004	0.004	0.004	0.005	0.07	52°2'16.4" 21°0'4.0"
15	PKP na az. 326° w odległości poziomej 50m od anteny sektorowej az. 10°	2.0	0.004	0.004	0.004	0.005	0.07	52°2'19.3" 21°0'8.6"
16	PKP na az. 341° w odległości poziomej 64m od anteny sektorowej az. 10°	2.0	0.004	0.004	0.004	0.005	0.07	52°2'19.7" 21°0'9.4"
17	PKP na az. 347° w odległości poziomej 51m od anteny sektorowej az. 10°	2.0	0.004	0.004	0.004	0.005	0.07	52°2'19.3" 21°0'9.7"
18	PKP na az. 356° w odległości poziomej 74m od anteny sektorowej az. 10°	2.0	0.004	0.004	0.004	0.005	0.07	52°2'20.0" 21°0'10.1"
19	PKP na az. 348° w odległości poziomej 84m od anteny sektorowej az. 10°	2.0	0.004	0.004	0.004	0.005	0.07	52°2'20.4" 21°0'9.4"
20	PKP na az. 24° w odległości poziomej 47m od anteny sektorowej az. 10°	2.0	0.003	0.003	0.003	0.005	0.06	52°2'19.3" 21°0'11.2"
21	PKP na az. 32° w odległości poziomej 87m od anteny sektorowej az. 10°	2.0	0.003	0.003	0.003	0.005	0.06	52°2'20.0" 21°0'12.6"
22	PKP na az. 39° w odległości poziomej 89m od anteny sektorowej az. 10°	2.0	0.004	0.004	0.004	0.005	0.07	52°2'20.0" 21°0'13.3"
23	PKP na az. 54° w odległości poziomej 75m od anteny sektorowej az. 10°	0.3-2.0	<0.003*	<0.003*	<0.003*	0.003	0.05	52°2'19.3" 21°0'13.3"
24	PKP na az. 33° w odległości poziomej 117m od anteny sektorowej az. 10°	2.0	0.003	0.003	0.003	0.004	0.06	52°2'21.1" 21°0'13.7"
25	PKP na az. 86° w odległości poziomej 47m od anteny sektorowej az. 130°	2.0	0.003	0.003	0.003	0.005	0.06	52°2'17.9" 21°0'13.0"

Sprawozdanie z badań bez pisemnej zgody laboratorium nie może być powielane inaczej niż w całości.
 Wynik przedstawione w niniejszym sprawozdaniu odnoszą się wyłącznie do badanego obiektu i do warunków i konfiguracji urządzeń w dniu wykonywania pomiarów.

26	PKP na az. 101° w odległości poziomej 35m od anteny sektorowej az. 130°	2.0	0.003	0.003	0.003	0.005	0.06	52°2'17.5" 21°0'12.2"
27	PKP na az. 116° w odległości poziomej 51m od anteny sektorowej az. 130°	2.0	0.004	0.004	0.004	0.006	0.08	52°2'17.2" 21°0'13.0"
28	PKP na az. 108° w odległości poziomej 74m od anteny sektorowej az. 130°	2.0	0.004	0.004	0.004	0.006	0.08	52°2'17.2" 21°0'14.4"
29	PKP na az. 107° w odległości poziomej 109m od anteny sektorowej az. 130°	2.0	0.004	0.004	0.004	0.005	0.07	52°2'16.8" 21°0'16.2"
30	PKP na az. 144° w odległości poziomej 75m od anteny sektorowej az. 130°	2.0	0.003	0.003	0.003	0.005	0.06	52°2'15.7" 21°0'13.0"
31	PKP na az. 159° w odległości poziomej 67m od anteny sektorowej az. 130°	2.0	0.004	0.004	0.004	0.005	0.07	52°2'15.7" 21°0'11.9"
32	PKP na az. 153° w odległości poziomej 79m od anteny sektorowej az. 130°	2.0	0.004	0.004	0.004	0.005	0.07	52°2'15.4" 21°0'12.6"
33	PKP na az. 153° w odległości poziomej 114m od anteny sektorowej az. 130°	2.0	0.004	0.004	0.004	0.005	0.07	52°2'14.6" 21°0'13.3"
34	PKP na az. 174° w odległości poziomej 56m od anteny sektorowej az. 130°	0.3-2.0	<0.003*	<0.003*	<0.003*	0.003	0.05	52°2'16.1" 21°0'10.8"
35	PKP na az. 206° w odległości poziomej 49m od anteny sektorowej az. 250°	2.0	0.004	0.004	0.004	0.005	0.07	52°2'16.1" 21°0'9.4"
36	PKP na az. 221° w odległości poziomej 39m od anteny sektorowej az. 250°	2.0	0.003	0.003	0.003	0.005	0.06	52°2'16.8" 21°0'9.0"
37	PKP na az. 236° w odległości poziomej 50m od anteny sektorowej az. 250°	2.0	0.004	0.004	0.004	0.005	0.07	52°2'16.8" 21°0'8.3"
38	PKP na az. 227° w odległości poziomej 67m od anteny sektorowej az. 250°	2.0	0.004	0.004	0.004	0.005	0.07	52°2'16.1" 21°0'7.9"
39	PKP na az. 227° w odległości poziomej 100m od anteny sektorowej az. 250°	2.0	0.004	0.004	0.004	0.005	0.07	52°2'15.4" 21°0'6.5"
40	PKP na az. 264° w odległości poziomej 36m od anteny sektorowej az. 250°	2.0	0.003	0.003	0.003	0.005	0.06	52°2'17.5" 21°0'8.3"
41	PKP na az. 279° w odległości poziomej 61m od anteny sektorowej az. 250°	2.0	0.004	0.004	0.004	0.005	0.07	52°2'17.9" 21°0'7.2"
42	PKP na az. 294° w odległości poziomej 44m od anteny sektorowej az. 250°	2.0	0.005	0.005	0.005	0.006	0.08	52°2'18.2" 21°0'8.3"
43	PKP na az. 273° w odległości poziomej 79m od anteny sektorowej az. 250°	2.0	0.004	0.004	0.004	0.005	0.07	52°2'17.9" 21°0'6.1"
44	PKP na az. 273° w odległości poziomej 112m od anteny sektorowej az. 250°	2.0	0.003	0.003	0.003	0.005	0.06	52°2'17.9" 21°0'4.3"
-	GKP w odległości poziomej 291m od anteny sektorowej az. 10°	2.0	0.006	0.006	0.006	0.008	0.11	52°2'26.9" 21°0'13.0"
-	GKP w odległości poziomej 351m od anteny sektorowej az. 130°	0.3-2.0	<0.003*	<0.003*	<0.003*	0.003	0.05	52°2'10.3" 21°0'24.5"
-	GKP w odległości poziomej 289m od anteny sektorowej az. 250°	2.0	0.005	0.005	0.005	0.006	0.08	52°2'14.6" 20°59'56.0"

GKP – Główny Kierunek Pomiarowy

PKP – Pomocniczy Kierunek Pomiarowy

¹ wyniki oznaczone * są wynikami poniżej czułości zestawu pomiarowego i są wynikami spoza zakresu akredytacji. Do obliczenia wyniku skorygowanego przyjęto wartość skorelowaną z rzeczywistym wynikiem pomiaru - dolną granicę akredytowanego zakresu pomiarowego metody

² współrzędne geograficzne pozyskane metodą pomiaru bezpośredniego

³ do wyznaczenia wartości wskaźnikowej WMe i WMh przyjęto na podstawie uzgodnień z klientem oraz rozpoznania źródeł, jako wartości dopuszczalne pola elektrycznego i magnetycznego odpowiednio 28 V/m i 0,073 A/m.

⁴ do wyznaczenia niepewności dla wyników poniżej czułości zestawu pomiarowego, przyjęto niepewność dla minimalnej wartości z zakresu pomiarowego.

⁵ maksymalna wartość chwilowa

Niepewność oszacowano zgodnie z dokumentem P-03 „Procedura nadzoru nad wyposażeniem” w postaci niepewności rozszerzonej wynikającej z niepewności standardowej pomnożonej przez współczynnik rozszerzenia k=2.

Sprawozdanie z badań bez pisemnej zgody laboratorium nie może być powielane inaczej niż w całości.

Wynik przedstawione w niniejszym sprawozdaniu odnoszą się wyłącznie do badanego obiektu i do warunków i konfiguracji urządzeń w dniu wykonywania pomiarów.

Całkowita szacowana niepewność rozszerzona składowej E wynosi odpowiednio:
sonda SF-13: 30.8% dla częstotliwości do 4 GHz, sonda SF-14: 27.1% dla częstotliwości do 4 GHz
Pomiar wykonany metodą 2 sond, opisaną w artykule Medycyna Pracy 2015;66(5):701-712 „Optymalizacja metodyki pomiaru wieloczęstotliwościowego pola elektromagnetycznego stacji bazowych telefonii komórkowej”.

Umieszczenie pionów (punktów) pomiarowych przedstawiono w załączniku nr 2 do niniejszego sprawozdania.

W obszarze pomiarowym, w którym na podstawie uprzednio przeprowadzonych obliczeń, stwierdzono występowanie w danych zakresach częstotliwości pól elektromagnetycznych o poziomach zbliżonych do poziomów dopuszczalnych, określonych w przepisach wydanych na podstawie art. 122 ust. 1 ustawy z dnia 27 kwietnia 2001 r. – Prawo ochrony środowiska nie stwierdzono występowania zabudowy mieszkalnej.

10. Omówienie wyników pomiarów

W związku z tym, że żadna z wartości zmierzonych, udokumentowanych w tabelach w pkt. 9, uzyskanych w skutek zastosowania pomiaru szerokopasmowego, powiększonego o rozszerzoną niepewność pomiaru U dla współczynnika rozszerzenia $k = 2$ nie przekroczyła 70% najniższej dopuszczalnej wartości składowej elektrycznej lub magnetycznej pola dla objętych pomiarami zakresów częstotliwości, nie uwzględnia się poprawek pomiarowych.

W wyniku zastosowania sposobu sprawdzenia dotrzymania dopuszczalnych poziomów pól elektromagnetycznych w środowisku, zgodnie pkt 25 ppkt 1 Rozporządzenia Ministra Klimatu z dnia 17 lutego 2020 r. (Dz. U. 2022, poz. 2630), w związku z tym, że żadna z wartości wskaźnikowych, udokumentowanych w tabelach w pkt. 9 nie przekracza wartości 1, stwierdza się, że w miejscach, w których wykonano pomiary w otoczeniu instalacji radiokomunikacyjnej 4924 (80250N!) JESOWKA_2 (WWA_PIASCZNO_WOLKAKOZODAWS), dopuszczalne poziomy pól elektromagnetycznych w środowisku należy uznać za dotrzymane.

11. Podstawa prawna

- 1) Ustawa z dnia 27 kwietnia 2001 r. Prawo ochrony środowiska (T. j. Dz. U. z 2025 r., poz. 647 z późn. zm.)
- 2) Rozporządzenie Ministra Zdrowia z dnia 17 grudnia 2019 r. w sprawie dopuszczalnych poziomów pól elektromagnetycznych w środowisku (Dz. U. 2019, poz. 2448)
- 3) Rozporządzenie Ministra Klimatu z dnia 17 lutego 2020 r. w sprawie sposobów sprawdzania dotrzymania dopuszczalnych poziomów pól elektromagnetycznych w środowisku (Dz. U. 2022, poz. 2630),
- 4) Akredytacja nr AB 419 wydana przez Polskie Centrum Akredytacji (wydanie 23, z dnia 5 marca 2024 r.)

12. Spis załączników

- Załącznik 1. Lokalizacja obiektu badań
- Załącznik 2. Usytuowanie pionów (punktów) pomiarowych
- Załącznik 3. Dokumentacja fotograficzna obiektu badań

13. Data wydania i autoryzowania sprawozdania

Obliczenia i sprawozdanie wykonał :



Signed by /
Podpisano przez:
Anna Kacperska
Date / Data:
2025-12-16 15:33

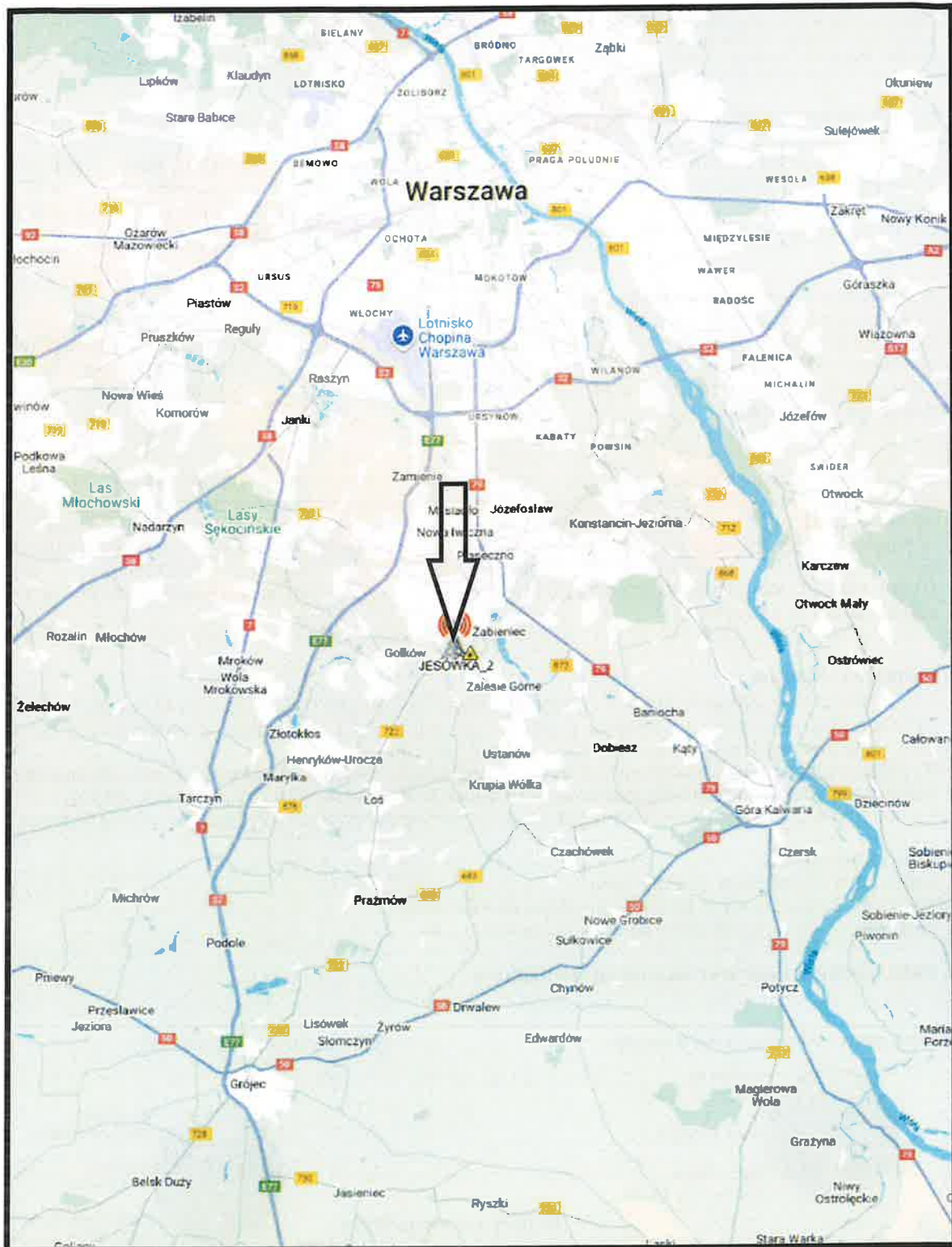
Sprawozdanie autoryzował:



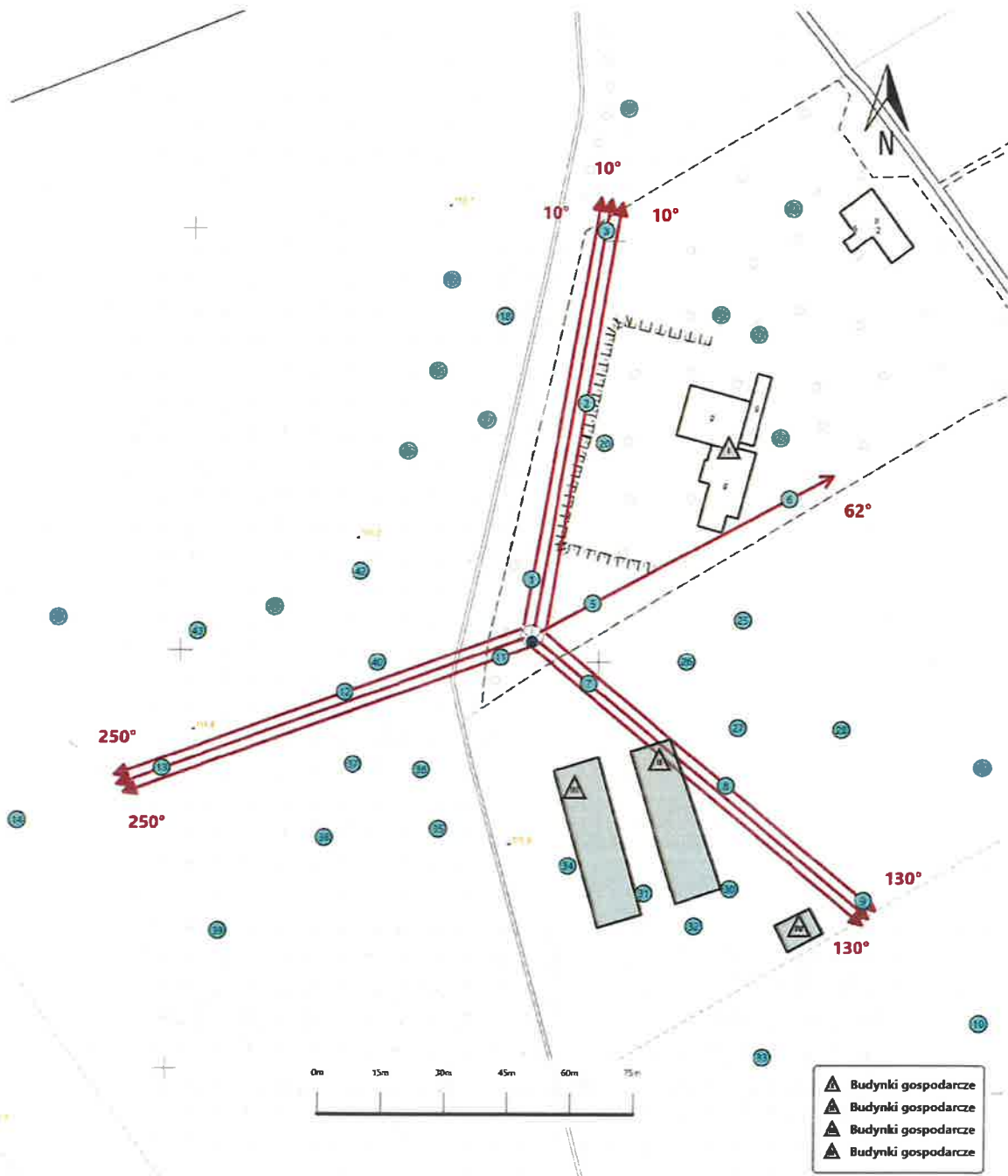
Signed by /
Podpisano przez:
Angelika
Okoniewska
Date / Data: 2025-
12-17 10:39






Koniec sprawozdania

Sprawozdanie z badań bez pisemnej zgody laboratorium nie może być powielane inaczej niż w całości.
Wynik przedstawione w niniejszym sprawozdaniu odnoszą się wyłącznie do badanego obiektu i do warunków i konfiguracji urządzeń w dniu wykonywania pomiarów.



Załącznik nr 1	INSTALACJA RADIOKOMUNIKACYJNA Orange Polska S.A. 4924 (80250N!) JESÓWKA_2 (WWA_PIASECZNO_WOLKAKOZODAWS)32334N!) Lokalizacja instalacji radiokomunikacyjnej
-----------------------	--



Załącznik nr 2	<p style="text-align: center;">Instalacja radiokomunikacyjna Orange Polska S.A. WWA_PIASCZNO_WOLKAKOZODAWS (80250N!) Usytuowanie pionów pomiarowych w otoczeniu instalacji radiokomunikacyjnej</p>
	<p>Legenda:</p> <div style="display: flex; justify-content: space-around; align-items: flex-start;"> <div style="text-align: center;">  Źródło pola elektromagnetycznego </div> <div style="text-align: center;">  Brak dostępu </div> <div style="text-align: center;">  Pion pomiarowy </div> <div style="text-align: center;">  Kierunek oddziaływania anten sektorowych </div> <div style="text-align: center;">  Kierunek oddziaływania anten radioliniowych </div> </div>



Załącznik nr 3

INSTALACJA RADIOKOMUNIKACYJNA Orange Polska S.A. 4924 (80250N!) JESÓWKA_2 (WWA_PIASZCZNO_WOLKAKOZODAWS)32334N!)

Zdjęcia instalacji radiokomunikacyjnej